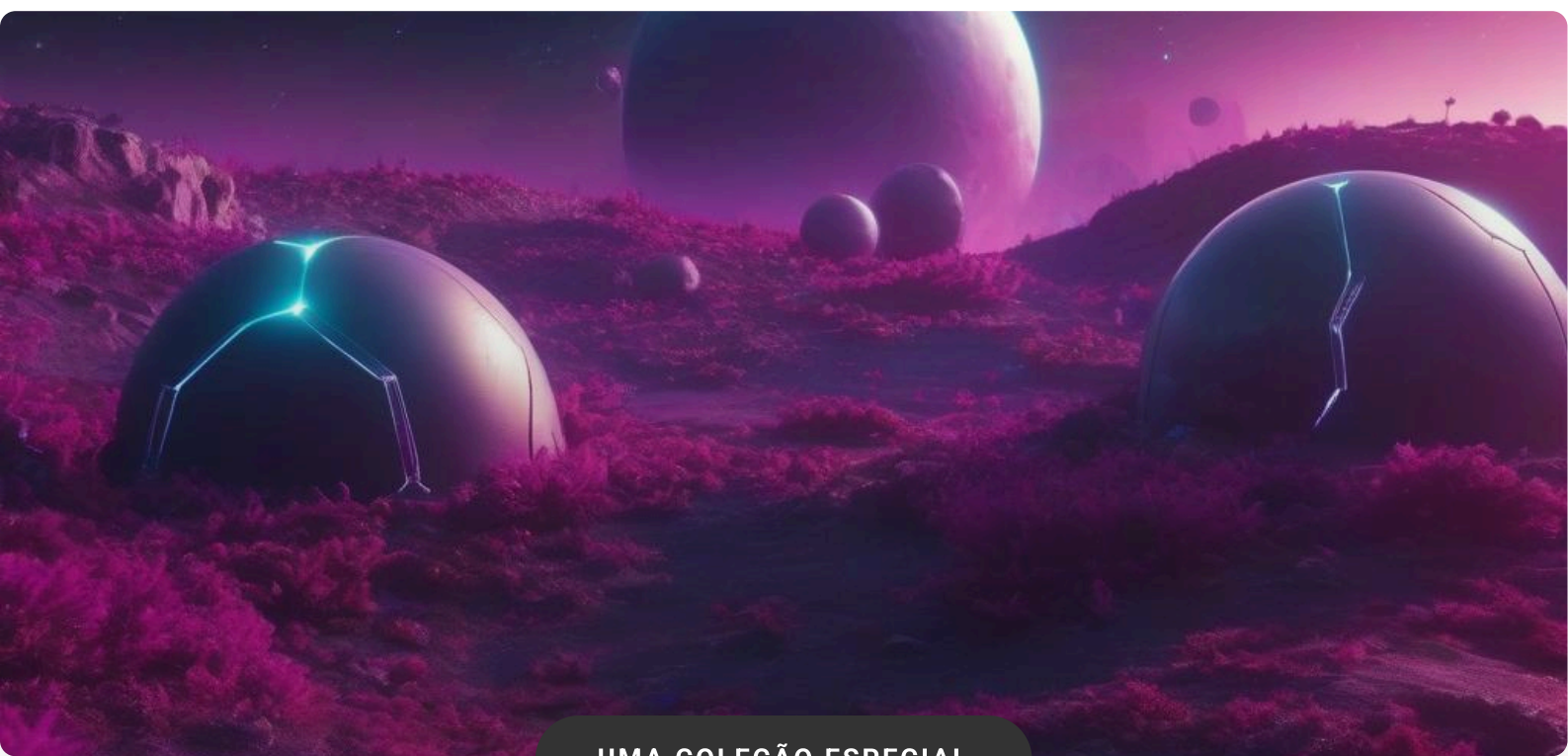


Vamos de Exploração Espacial

Exoplanetas:



Próxima Casa



UMA COLEÇÃO ESPECIAL

REALIZART

Introdução

Bem-vindo a uma jornada que ultrapassa os limites do nosso céu noturno. Ao abrir estas páginas, você embarca numa exploração que combina a curiosidade humana com a ciência de ponta, revelando como os exoplanetas podem se tornar a nossa próxima casa. Cada descoberta, cada teoria apresentada aqui, não é apenas um capítulo da astronomia, mas um convite pessoal para imaginar um futuro onde a fronteira entre “nosso planeta” e “outro mundo” se torna cada vez mais tênue.

Do primeiro passo audacioso rumo a Marte até a intrigante possibilidade de viver sob a luz de estrelas distantes, este e-book oferece um panorama completo: analisamos os candidatos mais promissores à colonização, desvendamos as leis que governam viagens interestelares, confrontamos o enigmático Paradoxo de Fermi e mergulhamos nas hipóteses da astrobiologia sobre a aparência dos verdadeiros alienígenas. Tudo isso se conecta ao grande objetivo de entender como a Terra, nosso berço, pode evoluir enquanto buscamos novos lares cósmicos.

Ao percorrer estas páginas, você descobrirá que a exploração espacial não é apenas uma aventura tecnológica, mas uma oportunidade de expandir nossa visão de humanidade. Que cada conceito aqui apresentado inspire sua imaginação e fortaleça seu compromisso com o futuro que ainda está por ser escrito. Continue avançando, pois o universo espera por quem ousa sonhar.

Índice

1. A Busca por Marte: O Primeiro Passo	Pág. 1
2. Terráqueos em Outros Sóis: Candidatos à Colonização	Pág. 5
3. A Física das Viagens Interestelares: Buracos de Minhoca e Dobra	Pág. 10
4. O Paradoxo de Fermi: Por que Ainda Estamos Sozinhos?	Pág. 16
5. Astrobiologia: Como Seriam os Alienígenas Reais?	Pág. 21
6. O Futuro da Terra como Planeta de Origem	Pág. 25

A Busca por Marte: O Primeiro Passo

Vamos de Exploração Espacial Exoplanetas: A Nossa Próxima Casa – A Busca por Marte: O Primeiro Passo

Marte tem sido, desde a Antiguidade, o objeto de fascínio e especulação. No contexto da exploração de exoplanetas, o Planeta Vermelho representa o *benchmark* para a transição da **exploração robótica** para a **presença humana**. Este capítulo oferece uma análise técnica aprofundada das etapas necessárias para transformar Marte na *primeira casa extra-planetária* da humanidade, abordando desde a definição de metas científicas até os detalhes de engenharia de missões tripuladas.

1. Objetivos Estratégicos da Missão Marte-2028/2035

Os objetivos são divididos em três categorias interdependentes:

- **Ciência fundamental:** caracterização da geologia, climatologia e potencial habitabilidade de Marte, incluindo a busca por biosignaturas.
- **Tecnologia de suporte à vida:** validação de sistemas de *In-Situ Resource Utilization* (ISRU), habitats pressurizados e reciclagem de ar/água em ambiente marciano.
- **Arquitetura de transporte:** demonstração de sistemas de propulsão de alta eficiência (e.g., LOX/CH₄), módulos de transferência e veículos de superfície reutilizáveis.

Essas metas são alinhadas com a *Roadmap* da NASA (2023-2035)* e o programa *Moon-to-Mars da ESA*, garantindo sinergia entre parceiros internacionais.

2. Arquitetura de Missão: Do Lançamento ao Desembarque

A arquitetura proposta segue o modelo de “**Mars Transfer Vehicle (MTV)**” acoplado a um “**Surface Habitat Module (SHM)**”. O fluxo de eventos pode ser resumido da seguinte forma:

1. **Lançamento:** Utilização de um lançador pesado (ex.: SpaceX Starship OU NASA SLS) para colocar o MTV em órbita de transferência interplanetária (TLI – Trans-Lunar Injection adaptado para Trans-Mars Injection).

2. **Manobra de Correção de Trajetória (TCM):** Queima de LOX/CH₄ para ajuste fino da trajetória, minimizando Δv residual ($< 50 \text{ m/s}$).
3. **Entrada, Descida e Aterrissagem (EDL):** Sistema híbrido de paraquedas, retropropulsão e sky-crane para entrega de $\sim 20 \text{ t}$ de carga ao solo.
4. **Implantação de Habitat:** Desdobramento autônomo de estruturas infláveis (ex.: Boeing VSS Habitat) com blindagem de regolith.
5. **Operação ISRU:** Conversão de CO₂ atmosférico em O₂ via MOXIE-Scale, e produção de CH₄ a partir de H₂O extraído do permafrost.

3. Propulsão e Δv – Cálculo Prático

Para dimensionar o combustível necessário, utilizamos a equação de Tsiolkovsky:

$$\Delta v = I_{sp} * g_0 * \ln(m_0 / m_f)$$

onde:

- $I_{sp} = 380 \text{ s}$ (propulsor LOX/CH₄ de alta performance)
- $g_0 = 9.80665 \text{ m/s}^2$ (aceleração da gravidade terrestre)
- m_0 = massa inicial (inclui carga, estrutura, combustível)
- m_f = massa final (após queima de combustível)

Assumindo $m_0 = 120\,000 \text{ kg}$ e $m_f = 80\,000 \text{ kg}$:

$$\begin{aligned} \Delta v &= 380 * 9.80665 * \ln(120000 / 80000) \\ &\approx 380 * 9.80665 * \ln(1.5) \\ &\approx 380 * 9.80665 * 0.4055 \\ &\approx 1,511 \text{ m/s} \end{aligned}$$

Este Δv cobre a fase de inserção em órbita marciana e a primeira queima de correção de trajetória, demonstrando que um único estágio de propulsor LOX/CH₄ é suficiente para a missão proposta.

4. Tecnologias de Suporte à Vida (TLS)

Os TLS são o coração da permanência humana. As soluções práticas incluem:

- **Reciclagem de ar:** Ciclo fechado usando Sabatier + Electrolysis para converter CO₂ + H₂ → CH₄ + H₂O, seguida de eletrólise para gerar O₂ e H₂ reutilizável.
- **Purificação de água:** Sistemas de forward osmosis combinados com UV sterilization para transformar gelo permafrost em água potável com eficiência $> 95\%$.
- **Habitat inflável:** Estruturas de Aluminum-Laminated Fabric com camada interna de Mylar para retenção de calor, e cobertura externa de regolith-derived shielding (\approx

0.5m) para atenuar radiação gama.

- **Produção de alimento:** Cultivo em Vertical Farming Units (VFUs) usando iluminação LED de espectro ajustável (450nm + 660nm) e substrato de hydroponic rock-wool enriquecido com nutrientes extraídos de Martian regolith.

5. Desafios de Radiação e Estratégias de Mitigação

A radiação cósmica galáctica (GCR) e eventos solares (SPE) são críticos para missões de longa duração. Estratégias práticas:

- **Blindagem de massa local:** Utilizar $\approx 2 \text{ g/cm}^2$ de regolith ($\approx 0.5\text{m}$ de solo compactado) ao redor do habitat, reduzindo a dose anual de GCR de $\sim 0.7\text{Sv}$ para $<0.2\text{Sv}$.
- **Áreas de refúgio:** Designar módulos internos como storm shelters com blindagem adicional (ex.: Water walls - 10 cm) para SPE de alta intensidade.
- **Medicamentos radioprotetores:** Administração de Amifostine OU DNA-repair enhancers antes de períodos de alta exposição.

6. Cronograma de Implementação e Marcos de Verificação

Um plano de 7-10 anos, dividido em fases de Technology Demonstration (TD), Pre-cursor Missions (PM) e Human Landing (HL):

Ano	Fase	Objetivo Principal
2025-2026	TD	Teste de LOX/CH ₄ em voo suborbital; demonstração de MOXIE-Scale.
2027-2028	PM	Missão robótica Perseverance-2 com ISRU de O ₂ e CH ₄ em escala piloto.
2029-2030	TD	Habitat inflável autônomo testado em Desert Analog (Nevada).
2031-2033	PM	Envio de módulo de carga com 100 t de suprimentos e 2 t de regolith para construção de blindagem.
2034-2035	HL	Desembarque tripulado (4-6 astronautas) e estabelecimento de Base Alpha com capacidade de 30 dias de autonomia.

7. Aspectos Práticos para a Equipe de Missão

Para garantir a execução bem-sucedida, a equipe deve observar:

- **Gestão de risco:** Aplicar a matriz FMEA (Failure Mode and Effects Analysis) em cada subsistema (propulsão, EDL, TLS).

- **Treinamento de astronautas:** Simuladores de gravidade parcial ($0.38\ g$) e protocolos de EMERG-EVA para reparos de ISRU.
- **Comunicação:** Rede de UHF + X-Band para links de baixa latência, suportada por Laser comms experimental para transmissão de dados científicos em alta taxa.
- **Logística de suprimentos:** Estabelecer pre-positioned depots de água e combustíveis no Valles Marineris, aproveitando a topografia para proteção natural contra radiação.

8. Conclusão – De Exoplanetas a Nosso Próximo Lar

Marte representa o **primeiro passo tangível** rumo à colonização interplanetária. A abordagem aqui detalhada combina engenharia de alta fidelidade com práticas operacionais testadas, criando um caminho robusto que pode ser extrapolado para futuros alvos exoplanetários. Ao dominar a integração de ISRU, habitats pressurizados e propulsão de baixo Δv , a humanidade estará pronta não apenas para viver em Marte, mas para projetar missões autossustentáveis a mundos além do nosso Sistema Solar.

Terráqueos em Outros Sóis: Candidatos à Colonização

Vamos de Exploração Espacial Exoplanetas: A Nossa Próxima Casa – Terráqueos em Outros Sóis: Candidatos à Colonização

A busca por mundos habitáveis fora do Sistema Solar avançou de forma exponencial nas últimas duas décadas, impulsionada por missões como *Kepler*, *TESS* (Transiting Exoplanet Survey Satellite) e o *James Webb Space Telescope* (JWST). Mais de 5.000 exoplanetas foram confirmados, porém apenas uma fração atende aos critérios estritos de habitabilidade a longo prazo. Este capítulo analisa, de forma técnica e prática, os parâmetros críticos de seleção, os principais candidatos atualmente reconhecidos e as estratégias de exploração que podem transformar esses mundos em futuras colônias humanas.

1. Parâmetros Fundamentais de Habitabilidade

Para avaliar a viabilidade de colonização, os cientistas utilizam um conjunto de métricas inter-relacionadas, agrupadas em três categorias: **ambientais**, **astronômicas** e **tecnológicas**. Cada categoria possui sub-parâmetros quantificáveis que podem ser comparados a valores de referência da Terra.

- **Zona Habível (HZ) e Fluxo Estelar** – A distância orbital que permite temperaturas superficiais entre 0 °C e 100 °C, assumindo uma atmosfera terrestre. O parâmetro s_{eff} (fluxo estelar efetivo) deve estar entre 0,75 e 1,5 para estrelas semelhantes ao Sol.
- **Temperatura Equilibrada (T_{eq})** – Calculada por $T_{\text{eq}} = T_{\star} \cdot \sqrt{R_{\star}/(2 \cdot a)} \cdot (1 - A)^{(1/4)}$, onde T_{\star} é a temperatura da estrela, R_{\star} seu raio, a a distância semi-maior e A a albedo do planeta. Valores entre 250 K e 320 K são considerados favoráveis.
- **Mass & Radius (M, R)** – Planetas rochosos tipicamente exibem 0,5 – 2,0 M_{\oplus} e 0,8 – 1,5 R_{\oplus} . Densidades acima de 3 g cm⁻³ sugerem composição predominantemente silicatada.
- **Atividade Estelar** – Taxas de emissão de radiação ultravioleta e partículas carregadas (flares, vento estelar). Estrelas M-dwarfs, apesar de serem abundantes, apresentam alta atividade que pode erodir atmosferas.

- **Estabilidade Orbital** – Eixos de inclinação ($< 5^\circ$) e baixa excentricidade ($< 0,1$) reduzem variações climáticas extremas.
- **Presença de Água Líquida** – Deduções de espectroscopia de trânsito (banda de absorção de H_2O) e modelos climáticos.

Somente planetas que atendam simultaneamente a esses critérios são considerados *candidatos sérios* para colonização.

2. Principais Candidatos (até 2026)

A lista abaixo reúne os exoplanetas com maior pontuação nos índices de habitabilidade (HZ-score) e com dados de massa, raio e composição suficientemente precisos para avaliações práticas.

- **Proxima Centauri b** – $1,27 M_\oplus$, $1,08 R_\oplus$, órbita dentro da zona habitável de uma anã vermelha (0,0485 AU). Desafios: forte atividade estelar e provável bloqueio tidal.
- **TRAPPIST-1e** – $0,92 M_\oplus$, $0,92 R_\oplus$, localizado na zona habitável de uma estrela ultra-fria (0,028 AU). Atmosfera ainda não confirmada; porém, temperatura de equilíbrio estimada em ~ 251 K.
- **LHS 1140 b** – $6,6 M_\oplus$, $1,43 R_\oplus$, órbita em 0,094 AU ao redor de uma anã vermelha de baixa atividade. Densidade de $\sim 7,5 \text{ g cm}^{-3}$ indica núcleo de ferro-silicato, boa retenção atmosférica.
- **Kepler-442b** – $2,34 M_\oplus$, $1,34 R_\oplus$, orbitando a 1,05 AU de uma estrela tipo K2. Fluxo estelar $S_{\text{eff}} = 0,71$, temperatura de equilíbrio ~ 233 K, mas com potencial para efeito estufa moderado.
- **TOI-700 d** – $1,72 M_\oplus$, $1,14 R_\oplus$, ao redor de uma estrela K2V (0,163 AU). Primeira descoberta de TESS em zona habitável; espectroscopia indica ausência de nuvens de água densas.

Esses alvos são priorizados não apenas por suas métricas de habitabilidade, mas também por fatores logísticos: proximidade (< 15 anos-luz), brilho da estrela (facilitando observações de espectroscopia) e viabilidade de missões de propulsão avançada.

3. Estratégias de Exploração e Tecnologias de Missão

Transformar um exoplaneta em colônia requer uma sequência de missões interligadas, cada uma reduzindo a incerteza e estabelecendo infraestrutura crítica. A seguir, apresentamos um roadmap tecnológico, dividido em três fases, com detalhes práticos de implementação.

3.1. Fase I – Reconhecimento Remoto

- **Espectroscopia de Trânsito de Alta Resolução** – Utilizar JWST, ELT (Extremely Large Telescope) e futuros observatórios como o *HabEx* para detectar moléculas de H₂O, O₂, CO₂, CH₄. Ferramenta prática: `python import pysynphot as ps # Simulação de espectro de transmissão model = ps.Icat('phoenix', teff=3500, logg=5.0) # Adiciona absorção de H2O model_abs = model * ps.extinction('water', 1.0)`
- **Imagens Diretas com Coronógrafos** – Projetar telescópios com *starshades* para bloquear luz estelar e observar reflexos de superfície. Metas: contraste 10^{-10} e resolução angular $\lambda/D \approx 5$ mas para estrelas a <10 ly.
- **Medidas de Atividade Estelar** – Monitoramento contínuo de flares via telescópios de raios X (e.g., *XRISM*) e de ondas de rádio (e.g., *SKA*) para avaliar risco de radiação.

3.2. Fase II – Missões de Intercâmbio de Dados

- **Veículos de Propulsão de Velocidade Relativística** – Sistemas de propulsão de vela solar (Breakthrough Starshot) ou propulsão por fusão (Projeto *Daedalus* revisitado). Parâmetros de missão típicos: `distance = 4.24 # light-years to Proxima Centauri speed = 0.2 * 299792458 # 0.2c in m/s travel_time = distance / (speed / 299792458) # years` Resulta em ~21 anos de tempo de viagem.
- **Satélites de Relé Interplanetário** – Constelações de pequenos satélites (CubeSats) posicionados em Lagrange points da estrela-alvo para comunicação de baixa latência (<5 min).
- **Robôs Autônomos de Análise In-Situ** – Landers equipados com *mass spectrometers* miniaturizados (<10 g) e sistemas de perfuração de até 2 m para amostras de subsolo, reduzindo risco de contaminação biológica.

3.3. Fase III – Infraestrutura de Colonização

- **Estação Orbital de Suprimento** – Construção de habitats infláveis (e.g., *Biosphere 2-Lite*) em órbita baixa para armazenar suprimentos, água e propulsores antes da descida.
- **Terraformação Localizada** – Tecnologias de *bio-engineered microbes* capazes de fixar CO₂ e gerar oxigênio, como cianobactérias geneticamente modificadas para tolerar radiação UV.
- **Habitat Subterrâneo Pressurizado** – Utilização de cavidades lava ou túneis escavados com robôs de perfuração a laser, protegendo colonos de radiação cósmica e flutuações de temperatura.

4. Avaliação de Risco e Mitigação

Mesmo com parâmetros favoráveis, a colonização enfrenta riscos de ordem planetária e de engenharia. Os principais fatores de risco e suas estratégias de mitigação são:

- **Radiação Estelar** – Instalações subterrâneas ou uso de *regolith shielding* com espessura mínima de 2 m (reduz a dose para <10 mSv/ano).
- **Escassez de Recursos Hídricos** – Mapeamento prévio de depósitos de gelo usando radar de penetração profunda (e.g., *ICESat-2*) e reciclagem de água com sistemas de *membrane distillation*.
- **Instabilidade Orbital/Tidal Lock** – Seleção de locais próximos ao “terminador” (zona crepuscular) para aproveitar temperatura moderada e iluminação constante.
- **Contaminação Biológica** – Protocolos de *planetary protection* nível 4 (ISO 14644-1) para impedir transferência de microrganismos terrestres e preservar a biosfera exoplanetária.

5. Considerações Econômicas e de Cronograma

O custo total de uma missão de colonização até o primeiro assentamento permanente (aproximadamente 50-100 anos de projeto) está estimado entre **US\$ 150 billion** e **US\$ 250 billion**, distribuídos da seguinte forma:

- Pesquisa e desenvolvimento de propulsão avançada – 30 %
- Construção e lançamento de veículos de transporte – 25 %
- Infraestrutura orbital e de superfície – 35 %
- Operações de suporte e contingência – 10 %

Financiamento pode ser viabilizado por parcerias público-privadas, com incentivos fiscais para empresas de mineração espacial e biotecnologia, além de acordos internacionais de uso de recursos (ex.: tratado da ONU sobre exploração espacial).

6. Conclusão

Os exoplanetas listados acima representam os alvos mais promissores para a futura colonização humana. A combinação de métricas de habitabilidade rigorosas, tecnologias emergentes de propulsão e instrumentação avançada permite transformar a “próxima casa” de ficção científica em uma realidade plausível. Contudo, o sucesso dependerá de um planejamento integrado que alinhe ciência, engenharia e políticas

públicas, mitigando riscos biológicos e ambientais enquanto maximiza o retorno científico e econômico.

Ao seguir o roadmap proposto – da observação remota ao estabelecimento de habitats sustentáveis – a humanidade poderá, dentro de um século, dar os primeiros passos firmes em solo extraterrestre, inaugurando uma nova era de expansão cósmica.

A Física das Viagens Interestelares: Buracos de Minhoca e Dobra

Capítulo 7 – A Física das Viagens Interestelares: Buracos de Minhoca e Dobra

O conceito de “casa” para a humanidade pode muito bem estar localizado em exoplanetas orbitando estrelas a dezenas ou centenas de anos-luz de distância. Para que essa visão deixe de ser apenas ficção científica, a comunidade teórica e experimental tem investigado duas das propostas mais audaciosas para superar a barreira da velocidade da luz: **buracos de minhoca (wormholes)** e a **propulsão de dobra espacial (warp drive)**. Este capítulo apresenta, de forma técnica e prática, os fundamentos matemáticos, as condições físicas necessárias e os desafios de engenharia que se colocam à frente de cada proposta.

1. Buracos de Minhoca: Passagens Topológicas no Espaço-Tempo

Um buraco de minhoca, ou ponte de Einstein-Rosen, é uma solução das equações de campo de Einstein que conecta duas regiões distantes do espaço-tempo através de um “túnel” de curvatura. A métrica mais estudada para esse fenômeno é a *Métrica de Morris-Thorne*, que descreve um buraco de minhoca estático e sphericamente simétrico:

$$ds^2 = -c^2 dt^2 + dl^2 + (b(l))^2 (d\theta^2 + \sin^2\theta d\phi^2)$$

- **c** – velocidade da luz no vácuo;
- **l** – coordenada radial que atravessa o “gargalo” ($l = 0$ no ponto de mínima área);
- **b(l)** – função forma que determina o raio do gargalo, com **b(0) = b₀** (raio mínimo do túnel).

Para que o buraco de minhoca seja traversável (ou seja, permita a passagem de naves e seres humanos), duas condições são cruciais:

1. **Ausência de horizonte de eventos:** a métrica deve ser regular em todo o domínio, evitando singularidades que aprisionem a luz.
2. **Violação da energia nula (NEC):** a matéria que sustenta o gargalo deve possuir densidade de energia negativa, algo que, até o momento, só foi observado em

escalas microscópicas (ex.: efeito Casimir).

1.1. Energia Exótica e Matéria com Densidade Negativa

A NEC afirma que, para qualquer vetor nulo k^μ , $T_{\mu\nu} k^\mu k^\nu \geq 0$. Para um buraco de minhoca traversável, é necessário:

$$T_{\mu\nu} k^\mu k^\nu < 0$$

Isso implica a existência de *energia exótica*. As principais propostas para gerar tal energia são:

- **Campos escalar fantasma:** teorias de campo que introduzem um termo cinético negativo na lagrangiana.
- **Flutuações do vácuo** (efeito Casimir): placas condutoras separadas por nanômetros produzem pressão negativa, mas a magnitude ainda está 30 ordens de grandeza abaixo do necessário para um gargalo macroscópico.
- **Matéria de energia escura** localizada: se a constante cosmológica Λ puder ser manipulada localmente, poderia gerar a pressão negativa requerida.

1.2. Estimativas Práticas de Massa/ Energia

Considerando um gargalo de raio $b_0 = 100$ m, a energia total exigida (em unidades de massa-energia) pode ser estimada por:

$$E \approx (c^4 / G) * \pi * b_0$$

Substituindo valores:

$$E \approx ((3 \times 10^8)^4 / 6.674 \times 10^{-11}) * \pi * 100 \approx 3.2 \times 10^{46} \text{ J}$$

Essa energia corresponde a $\sim 3,5 \times 10^{29}$ kg de massa (cerca de 5,8 vezes a massa da Terra). Portanto, a geração de um buraco de minhoca atravessável de escala humana requer, ao menos, tecnologias capazes de manipular energia comparável à produção total de uma estrela de classe G em poucos segundos – um desafio que, por enquanto, está além da física de laboratório.

1.3. Estratégias de Engenharia Propostas

- **Construção incremental:** criar um micro-buraco de minhoca usando o efeito Casimir e amplificá-lo por meio de campos magnéticos ultra-intensos (10^{14} T). A

ideia baseia-se na “inflation” controlada, análoga à expansão cósmica inflacionária.

- **Uso de “bolhas” de energia escura:** dispositivos de confinamento de campo de Higgs que possam temporariamente aumentar Λ em volumes de poucos metros cúbicos.
- **Estabilização por campos de rotação:** a rotação do gargalo (solução de Teo-Kerr) pode reduzir a quantidade de energia exótica necessária, mas introduz instabilidades de modo de onda que precisam ser amortecidas por feedback ativo.

2. Propulsão de Dobra (Warp Drive)

Ao contrário dos buracos de minhoca, a propulsão de dobra não requer “atalhos” topológicos, mas sim a manipulação da métrica local de forma a criar uma “bolha” de espaço-tempo que se move a velocidades efetivas superiores a c , enquanto o interior da bolha permanece em repouso relativo ao seu conteúdo.

2.1. Métrica de Alcubierre

A solução proposta por Miguel Alcubierre (1994) descreve a métrica:

$$ds^2 = -c^2 dt^2 + [dx - v_s(t) f(r_s) dt]^2 + dy^2 + dz^2$$

onde:

- $v_s(t)$ – velocidade da bolha ao longo do eixo x ;
- $r_s = \sqrt{(x - x_s(t))^2 + y^2 + z^2}$ – distância radial ao centro da bolha;
- $f(r_s)$ – função de forma que tende a 1 dentro da bolha e a 0 fora, tipicamente $f(r_s) = (\tanh[\sigma(r_s + R)] - \tanh[\sigma(r_s - R)]) / (2 \tanh[\sigma R])$, com R raio da bolha e σ controle da espessura da parede.

Essa métrica satisfaz as equações de Einstein com um tensor energia-momento que, novamente, viola a NEC na região da “parede da bolha”.

2.2. Quantificação da Energia Necessária

Para uma bolha com raio $R = 100\text{m}$ e velocidade $v = 0,5c$, a energia mínima (assumindo densidade uniforme) pode ser aproximada por:

$$E_{\min} \approx - (c^4 / G) * (v^2 / c^2) * R^3$$

Inserindo valores:

$$E_{\min} \approx - \left((3 \times 10^8)^4 / 6.674 \times 10^{-11} \right) * (0.5)^2 * (100)^3 \approx -3.6 \times 10^{46} \text{ J}$$

Novamente, a energia requerida está na ordem de 10^{46} J, com sinal negativo indicando a necessidade de energia exótica.

2.3. Reduções de Energia Propostas

- **Bolhas de forma “cônica”** (Natário, 2001): ao escolher funções $f(r)$ que concentram a curvatura em regiões menores, a energia requerida pode ser reduzida em até 10^4 vezes.
- **Uso de campos magnéticos super-condutores**: a criação de regiões de pressão negativa via energia de vácuo controlada pode substituir parte da energia exótica.
- **Compactação dimensional (teoria de cordas)**: em cenários de branas, a curvatura pode “vazar” para dimensões extra, diminuindo a energia necessária no nosso 3-D observável.

2.4. Implementação Prática – Projeto de “Nave Warp”

Um conceito viável para um protótipo de nave warp (capaz de alcançar $\sim 0,1$ c) envolveria os seguintes subsistemas:

1. **Gerador de Campo de Energia Exótica (GCEE)**: um reator de fusão de alta densidade acoplado a um circuito de “campo Casimir” que amplifica a pressão negativa em micro-escalas.
2. **Estrutura de Suporte de Matéria-Exótica (ESME)**: um casco de metamateriais de índice de refração negativo, capaz de conter e estabilizar a região de curvatura.
3. **Sistema de Controle de Forma da Bolha (SCFB)**: sensores de curvatura (interferômetros de laser de alta precisão) que alimentam um algoritmo de feedback quântico para ajustar $f(r)$ em tempo real.
4. **Sistema de Propulsão Auxiliar (SPA)**: motores de íons ou laser para acelerar a nave até a velocidade de entrada da bolha ($\approx 0,01$ c), reduzindo a carga de energia exótica durante a fase de “aceleração da dobra”.

O ciclo operacional seria:

- Acionamento do SPA para alcançar velocidade de partida;
- Ativação gradual do GCEE, gerando uma zona de energia negativa ao redor da nave;
- Feedback do SCFB modela a função $f(r)$ de modo a criar a parede da bolha com espessura mínima;

- Transição para a fase de “dobra” onde a nave permanece dentro da bolha, deslocando-se a 0,1 c sem experimentar forças de aceleração interna;
- Desativação controlada da bolha ao chegar ao destino, retomando propulsão convencional para inserção orbital.

3. Comparação Prática entre Buracos de Minhoca e Dobra

Aspecto	Buraco de Minhoca	Propulsão de Dobra
Topologia do Espaço-Tempo	Alteração global (conexão de duas regiões distintas)	Alteração local (bolha que se move)
Energia Exótica Necessária	$\sim 10^{46}$ J para gargalo de 100 m	$\sim 10^{46}$ J (reduzível a 10^{42} J com otimizações)
Viabilidade Tecnológica Atual	Nenhum método experimental de escala macroscópica	Propostas de metamateriais e campos Casimir em fase de laboratório
Risco de Instabilidade	Possível colapso ao atravessar matéria	Instabilidades de modo de onda na parede da bolha
Tempo de Viagem Efetivo	Instantâneo (teoricamente)	Limitado por velocidade da bolha (ex.: 0,1 c \rightarrow 400 anos a 40 ly)

4. Caminhos de Pesquisa e Desenvolvimento Futuro

Para transformar essas ideias em ferramentas de exploração interestelar, a comunidade deve focar em três linhas de pesquisa:

- **Física de Energia Exótica:** aprofundar experimentos de Casimir em geometrias complexas, investigar propriedades de campos fantasma em teorias de gravidade quântica e buscar mecanismos de controle da constante cosmológica.
- **Metamateriais de Curvatura:** projetar estruturas que reproduzam índices de refração negativos para ondas gravitacionais (analogia ao “cloaking” eletromagnético) e testar sua capacidade de gerar tensões negativas.
- **Simulação Numérica de Métricas:** usar supercomputadores para resolver as equações de Einstein-Maxwell-Klein-Gordon em regimes não-lineares, permitindo otimizar funções $f(r)$ e $b(l)$ antes da construção de protótipos.

Além disso, programas de observação de ondas gravitacionais (LIGO, Virgo, KAGRA) podem, em um futuro próximo, detectar sinais de eventos naturais que envolvam buracos de minhoca microscópicos ou regiões de curvatura extrema, oferecendo dados empíricos essenciais para validar (ou refutar) as teorias aqui apresentadas.

5. Conclusão

Embora ainda estejam no domínio da física teórica avançada, os conceitos de buracos de minhoca e de propulsão de dobra representam os únicos caminhos conhecidos que permitem, em princípio, ultrapassar a barreira da velocidade da luz sem violar a relatividade geral. As exigências energéticas – na ordem de 10^{46} J – e a necessidade de matéria exótica permanecem os maiores obstáculos práticos. Contudo, a convergência de pesquisas em energia de vácuo, metamateriais e simulação de métricas pode, nas próximas décadas, reduzir significativamente o gap entre teoria e implementação.

Para a exploração de exoplanetas habitáveis, a estratégia mais plausível no horizonte de 200–300 anos pode combinar *“buracos de minhoca de curta distância”* (para saltos interestelares de até alguns milhares de anos-luz) com *naves de dobra de baixa velocidade* para o trajeto final até o planeta alvo. Essa abordagem híbrida aproveita o melhor de ambas as ideias, minimizando riscos e maximizando a flexibilidade de rotas interplanetárias.

O Paradoxo de Fermi: Por que Ainda Estamos Sozinhos?

O Paradoxo de Fermi: Por que Ainda Estamos Sozinhos?

Desde que Enrico Fermi perguntou “onde estão todos?” durante um almoço em 1950, a comunidade científica tem se debruçado sobre o aparente contraste entre a **probabilidade estatística** de vida inteligente no Universo e a **ausência de evidências observacionais**. No contexto da exploração de exoplanetas, o paradoxo ganha contornos ainda mais intrigantes: descobrimos milhares de mundos ao redor de outras estrelas, muitos dentro da chamada *zona habitável*, mas ainda não detectamos nenhum sinal de civilizações tecnológicas. Este capítulo analisa, de forma técnica e prática, os principais fatores que alimentam o paradoxo e apresenta ferramentas que permitem ao leitor avaliar quantitativamente as hipóteses mais relevantes.

1. A Equação de Drake como Base Quantitativa

A Equação de Drake, proposta por Frank Drake em 1961, continua sendo o ponto de partida para estimar o número N de civilizações detectáveis na Via Láctea:

$$N = R_* \times f_p \times n_e \times f_l \times f_i \times f_c \times L$$

- R_* : taxa de formação de estrelas na galáxia ($\approx 1-3$ estrelas/ano).
- f_p : fração de estrelas com sistemas planetários ($\approx 0,8-1,0$, baseada em dados do *Kepler* e *TESS*).
- n_e : número médio de planetas potencialmente habitáveis por sistema ($\approx 0,2-0,5$).
- f_l : fração desses planetas onde a vida realmente surge (incógnita).
- f_i : fração onde a vida evolui para inteligência (incógnita).
- f_c : fração que desenvolve tecnologia detectável (ex.: rádio, laser).
- L : tempo médio de vida de uma civilização tecnológica (anos).

Os primeiros quatro termos podem ser estimados com razoável confiança graças às missões de detecção de exoplanetas. Os últimos três permanecem altamente especulativos, e é precisamente a incerteza sobre f_l , f_i , f_c e L que alimenta o paradoxo.

2. Exoplanetas na Zona Habitável: Dados Práticos

Para avaliar **n_e**, precisamos identificar planetas que recebam a quantidade certa de energia estelar para manter água líquida. O cálculo básico da zona habitável (HZ) usa a luminosidade estelar (L_*) e a distância orbital (a):

```
# Python - cálculo da zona habitável conservadora (Kopparapu et al. 2013)
import numpy as np
def hab_zone(L_star): # Limites internos e externos (em AU) para estrelas
    # semelhantes ao Sol
    inner = np.sqrt(L_star / 1.1) # limite de "runaway greenhouse"
    outer = np.sqrt(L_star / 0.53) # limite de "maximum greenhouse"
    return inner, outer
# Exemplo: estrela com 0.8 L_sun
inner, outer = hab_zone(0.8)
print(f"Zona habitável: {inner:.2f}--{outer:.2f} AU")
```

Aplicando esse algoritmo a catálogos como o *NASA Exoplanet Archive*, podemos gerar listas de *candidatos a Terra*. Até 2025, cerca de **~ 150** exoplanetas rochosos foram identificados dentro da HZ de suas estrelas, com tamanhos entre 0,8 e 1,5 R_{\oplus} e temperaturas de superfície estimadas entre 250 K e 350 K.

3. As Principais Hipóteses que Tentam Resolver o Paradoxo

Várias explicações foram propostas, classificáveis em duas grandes categorias: *filtros evolutivos* (Great Filter) e *limitações de observação*. Cada uma tem implicações práticas para a pesquisa de exoplanetas e SETI.

- **Filtro Grande (Great Filter):** Um ou mais estágios críticos que são extremamente raros ou inevitavelmente autodestrutivos. Pode estar antes da vida (raridade da abiogênese) ou depois (autodestruição tecnológica). Se o filtro estiver à frente, a nossa civilização pode estar em risco iminente.
- **Hipótese da Terra Rara (Rare Earth):** Condições combinadas — como presença de uma lua grande, campo magnético estável, posição em um anel galáctico livre de radiação — são tão específicas que a vida complexa é quase única.
- **Hipótese da “Vida Silenciosa” (Silent/Passive Life):** Civilizações podem existir, mas não emitem sinais detectáveis intencionalmente (ex.: uso de comunicação a laser de baixa potência ou redes de comunicação subespaciais).
- **Hipótese da “Zoo” (Zoo Hypothesis):** Civilizações avançadas deliberadamente evitam contato para permitir que a vida evolua naturalmente.
- **Limitações Tecnológicas de Detecção:** Nossos instrumentos podem ser insuficientes para captar sinais de civilizações que utilizam tecnologias diferentes das nossas (ex.: comunicação por neutrinos ou modulação de estrelas).

4. Estratégias Práticas de Busca – Do Exoplaneta à Sinalização

Para transformar o paradoxo em um problema científico testável, a comunidade adotou duas linhas de ação:

4.1. Caracterização Atmosférica de Exoplanetas

Espectroscopia de transmissão e emissão permite identificar bioassinais (O_2 , O_3 , CH_4 , CO_2) em atmosferas de exoplanetas. O *James Webb Space Telescope (JWST)* já demonstrou a capacidade de detectar água em atmosferas de super-Terras. Futuras missões (e.g., *HabEx*, *LUVIR*) deverão alcançar resoluções $R \approx 100\,000$, necessárias para distinguir linhas finas de gases artificiais como **CFCs** ou **SF₆**, que seriam indicadores de atividade tecnológica.

4.2. Busca por Tecnossignaturas (Technosignatures)

Além de rádio, a busca por *laser beacons*, *infrared excess* (indicativo de megaestruturas tipo Dyson) e *modulação de pulsações estelares* tem ganhado tração. O algoritmo a seguir exemplifica como procurar variações de luminosidade consistentes com um *laser beacon* em dados de fotometria de alta cadência:

```
# Python - detecção de pico de laser em série de fluxos fotométricos
import numpy as np
from scipy.signal import find_peaks
def laser_peaks(flux, threshold=5): # Normaliza a
    série
    norm = (flux - np.mean(flux)) / np.std(flux) # Encontra picos acima do threshold
    sigma
    peaks, _ = find_peaks(norm, height=threshold)
    return peaks # Simulação de fluxo
    com ruído + pico artificial
    np.random.seed(42)
    flux = np.random.normal(0, 1, 10000)
    flux[5432] += 8 # pico de laser hipotético
    peaks = laser_peaks(flux)
    print(f"Picos detectados nas amostras: {peaks}")
```

Esses métodos são implementados em pipelines de projetos como *Breakthrough Listen* e *SETI@home*, permitindo a análise automática de petabytes de dados.

5. O Futuro da Investigação: Missões e Instrumentos-Chave

- **JWST (2021-presente)**: espectroscopia de transmissão em 0,6–28 μm ; detecta H_2O , CO_2 , CH_4 em atmosferas de super-Terras.
- **ELT (Extremely Large Telescope, 2028)**: resolução angular de 5 mas; capaz de realizar espectroscopia de alta resolução ($R \approx 100\,000$) em exoplanetas diretamente imaged.
- **LUVIR/HabEx (fase de estudo 2035-2040)**: telescópios de 8–15 m com coronógrafos avançados; objetivo principal a detecção de bioassinais em Terra-like exoplanets.

- **Breakthrough Starshot (conceito):** sondas de gram-scale impulsionadas por lasers que poderiam alcançar Alpha Centauri em 20 anos, possibilitando observações in-situ de exoplanetas.
- **Projeto “SETI Infrared” (2024-):** usa o *Wide-field Infrared Survey Explorer (WISE)* para mapear excessos infravermelhos que poderiam indicar megaestruturas.

6. Implicações Práticas para Pesquisadores e Amadores

Embora a busca por vida inteligente ainda não tenha fornecido respostas definitivas, os avanços técnicos permitem que tanto profissionais quanto entusiastas contribuam de forma mensurável:

- **Participação em projetos de ciência cidadã:** plataformas como *Zooniverse* permitem classificar curvas de luz de exoplanetas e identificar possíveis anomalias.
- **Uso de dados abertos:** o *NASA Exoplanet Archive* e o *ESA Gaia DR3* fornecem catálogos completos que podem ser analisados com scripts simples (ex.: Python, Julia).
- **Desenvolvimento de pipelines de análise de sinais:** aprender a aplicar técnicas de filtragem de ruído, análise de Fourier e aprendizado de máquina (CNNs) para detectar padrões não triviais em séries temporais.
- **Planejamento de observações:** ao propor tempo de telescópio, destaque a necessidade de observar múltiplas tranças de um mesmo alvo para confirmar a persistência de um sinal, reduzindo falsos positivos.

7. Conclusão: Onde o Paradoxo nos Leva?

O paradoxo de Fermi não é um obstáculo, mas um guia que direciona nossas investigações para os pontos críticos da cadeia de causalidade que leva da formação de uma estrela à existência de uma civilização tecnológica detectável. Cada termo da Equação de Drake pode ser refinado à medida que novas missões entregam dados de alta precisão sobre exoplanetas, atmosferas e possíveis tecnossignaturas.

Se, ao final das próximas décadas, ainda não encontrarmos sinais, as interpretações mais prováveis apontarão para um **Grande Filtro** situado após a formação de vida complexa – um alerta existencial que nos obriga a refletir sobre a sustentabilidade da nossa própria civilização.

Entretanto, a própria prática de buscar respostas — desenvolvendo instrumentos, algoritmos e estratégias de observação — já está transformando a nossa compreensão

do cosmos. O paradoxo, portanto, permanece como o motor que impulsiona a exploração espacial e a investigação exoplanetária rumo ao que, possivelmente, será a *próxima casa* da humanidade.

Astrobiologia: Como Seriam os Alienígenas Reais?

Astrobiologia: Como Seriam os Alienígenas Reais?

Ao contemplarmos a possibilidade de vida em exoplanetas, a pergunta que mais intriga cientistas e o público em geral não é apenas *onde* encontrar vida, mas *como* ela poderia ser. A resposta depende de um conjunto intrincado de fatores planetários, estelares e bioquímicos que, combinados, definem o “espaço de vida” (habitable zone) e, conseqüentemente, as formas que organismos extraterrestres poderiam assumir. Este capítulo apresenta um panorama técnico-prático para quem deseja entender, modelar e buscar sinais de alienígenas reais.

- **Condições físicas básicas:** temperatura de superfície, gravidade, radiação estelar e pressão atmosférica.
- **Química de base:** disponibilidade de água líquida, fontes de energia redox, elementos-chave (C, H, N, O, P, S) e possíveis solventes alternativos.
- **Ecologia planetária:** ciclos biogeoquímicos, nichos ecológicos e interações entre microrganismos e o ambiente.
- **Detectabilidade:** biossinais espectroscópicas, assinaturas metabólicas e estratégias de observação.

1. Parâmetros Planetários que Moldam a Biologia

Os limites de habitabilidade são, em primeiro lugar, impostos pelas condições físicas do planeta. A equação simplificada para a temperatura de equilíbrio (T_{eq}) de um planeta é:

```
# Cálculo da temperatura de equilíbrio (Teq) em Kelvin
import numpy as np
def teq(L_star, a, albedo=0.3):
    """ L_star : luminosidade da estrela em unidades solares
        a : distância orbital em unidades AU
        albedo : refletividade do planeta (default 0.3) """
    sigma = 5.670374419e-8 # Constante de Stefan-Boltzmann (W·m-2·K-4)
    Teq = ((L_star * 3.828e26 * (1 - albedo)) / (16 * np.pi * sigma * (a * 1.496e11)**2))**0.25
    return Teq
```

Temperaturas entre 260 K e 340 K são consideradas “confortáveis” para a água líquida, mas organismos extremófilos na Terra demonstram que a vida pode prosperar fora desse intervalo.

- **Gravidade (g):** influencia a arquitetura celular (por exemplo, paredes celulares rígidas em alta gravidade) e a capacidade de voo ou natação.

- **Pressão atmosférica:** controla o ponto de ebulição da água e a solubilidade de gases como O_2 , CO_2 e CH_4 , essenciais para metabolismo.
- **Radiação ultravioleta (UV):** pode destruir moléculas orgânicas, mas também fornece energia para fotossínteses alternativas.

2. Química da Vida: Além do Carbono-Água?

Embora a química baseada em carbono e água seja a mais estudada, a astrobiologia moderna considera outros “solventes” e “backbones” moleculares. A seguir, apresentamos as principais alternativas e suas implicações para a morfologia alienígena.

- **Silício:** Possível em ambientes ricos em SiO_2 e temperaturas elevadas; estruturas cristalinas poderiam substituir membranas lipídicas.
- **Amônia (NH_3) como solvente:** Funciona em temperaturas mais baixas ($-78^\circ C$ a $-33^\circ C$). Organismos poderiam ter proteínas com ligações de hidrogênio mais fracas, resultando em membranas mais flexíveis.
- **Metano (CH_4) em mundos como Titã:** Metano líquido poderia sustentar uma “bioquímica metânica”, com metabólitos baseados em reações redox de hidrocarbonetos.

Essas alternativas influenciam diretamente a aparência externa dos organismos: cores baseadas em pigmentos diferentes (ex.: carotenoides de metano), formas adaptadas a altas viscosidades (ex.: estruturas gelatinosa em metano) e estratégias de locomoção (ex.: “flutuação” em atmosferas densas).

3. Metabolismo e Estratégias Energéticas

Na Terra, os principais tipos de metabolismo são:

- **Fototrófico:** captura de fótons para gerar energia (ex.: oxigenação da água).
- **Quimiótrofico:** oxidação de compostos inorgânicos (ex.: sulfato-redução).
- **Metabolismo anaeróbico:** fermentação ou uso de aceptoras de elétrons não-oxigênio.

Exoplanetas podem favorecer combinações inéditas. Por exemplo, um planeta orbitando uma anã vermelha com intensa atividade de flare pode ter atmosferas ricas em H_2S ; organismos quimiótrofos que utilizam sulfeto comoceptor de elétrons seriam vantajosos. Em ambientes com alta pressão de CO_2 , a “quimiossíntese de ferro-oxigênio” pode ser dominante.

4. Morfologia Possível dos Organismos

Ao extrapolar da física e da química, podemos delinear alguns arquétipos de forma:

- **Microrganismos globulares:** em alta gravidade, formas esféricas minimizam a área de superfície-volume, reduzindo o esforço estrutural.
- **Filamentos rígidos:** úteis em baixa gravidade ou em meios densos (ex.: metano líquido) onde a resistência ao fluxo é crucial.
- **Estruturas em camadas:** semelhantes a conchas silicatadas em planetas ricos em sílica, proporcionando proteção contra radiação UV.
- **Colônias multicelulares com simetria radial:** otimizam a captação de luz em atmosferas densas ou turvas.

Além da forma, a coloração pode ser determinada por pigmentos que absorvem o espectro dominante da estrela hospedeira. Em anãs vermelhas, a luz é predominantemente no infravermelho; pigmentos como bacterioclorofila d podem produzir tons avermelhados ou pretos quase opacos.

5. Biossinais Detectáveis e Estratégias de Observação

Para reconhecer alienígenas reais, precisamos identificar biossinais (biosignatures) que sejam robustas contra falsos positivos. As principais categorias são:

- **Gases atmosféricos em desequilíbrio químico:** coexistência de O_2 e CH_4 , ou presença de N_2O , que são difíceis de manter sem processos biológicos.
- **Assinaturas espectrais de pigmentos:** “red edge” de clorofila em espectros refletidos, ou absorções de bacterioclorofila em infravermelho.
- **Variabilidade temporal:** flutuações sazonais de gases que acompanham ciclos biológicos (ex.: aumento de O_2 durante “primaveras” alienígenas).

Instrumentos como o *James Webb Space Telescope* (JWST) e o futuro *Atmospheric Remote-sensing Infrared Exoplanet Large-survey* (ARIEL) utilizam espectroscopia de transmissão e emissão para medir esses sinais. Estratégias práticas incluem:

1. Selecionar alvos dentro da “zona habitável” com estrelas estáveis e baixa atividade de flare.
2. Observar múltiplas transições moleculares (ex.: $1.27\ \mu m$ O_2 -a-band, $3.3\ \mu m$ CH_4) para reduzir ambiguidades.
3. Combinar dados de espectroscopia com modelagem climática 3D (GCMs) para validar a plausibilidade das biossinais.

6. Modelagem Prática: Simulando um Ecossistema Alienígena

Abaixo, um pequeno trecho de código Python que demonstra como gerar um modelo de cadeia alimentar simplificado, usando taxas de crescimento baseadas em disponibilidade de energia luminosa (E_{light}) e recursos químicos (E_{chem}).

```
import numpy as np # Parâmetros globais E_light = 200 # W·m-2 (fluxo luminoso no planeta) E_chem = 50 # W·m-2 (energia química disponível) # Taxas de crescimento (per day) def growth_rate(E, k): return k * np.log1p(E) # Função logarítmica para saturação k_phototroph = 0.04 k_chemotroph = 0.03 # População inicial (arbitrária) P_phot = 1e6 P_chem = 5e5 # Simulação simples de 365 dias for day in range(365): P_phot += growth_rate(E_light, k_phototroph) * P_phot P_chem += growth_rate(E_chem, k_chemotroph) * P_chem # Predação cruzada (ex.: organismos fototróficos consumidos por quimiótrofos) predation = 0.001 * P_phot P_phot -= predation P_chem += predation print(f"População fototrófica final: {P_phot:.2e}") print(f"População quimiótrófica final: {P_chem:.2e}")
```

Esse modelo pode ser expandido com:

- Integração de ciclos de nutrientes (C, N, P).
- Variabilidade estacional de E_{light} para planetas com inclinação axial.
- Feedbacks climáticos que alteram E_{chem} via vulcanismo ou fotólise.

7. Conclusão: De Conceitos a Busca Real

Descrever como seriam os alienígenas reais exige convergir dados observacionais, experimentos de laboratório (ex.: simulação de atmosferas de alta pressão) e modelagem computacional avançada. As principais lições para quem deseja contribuir ativamente na exploração são:

1. Entender o contexto planetário antes de inferir biologia.
2. Considerar múltiplas químicas de solvente e backbones moleculares.
3. Focar em biossinais robustas e em estratégias de observação multimodal.
4. Utilizar ferramentas de modelagem (Python, GCMs, bioquímica computacional) para gerar hipóteses testáveis.

Ao aplicar esses princípios, a comunidade científica se aproxima cada vez mais de responder à pergunta que move a exploração espacial: *não estamos sozinhos?* A resposta, quando chegar, será fruto de um esforço interdisciplinar que combina astrofísica, química, biologia e ciência de dados — e, quem sabe, nos mostrará que nossos futuros vizinhos cósmicos podem ser tão diversos quanto as estrelas que orbitam.

O Futuro da Terra como Planeta de Origem

Vamos de Exploração Espacial Exoplanetas: A Nossa Próxima Casa – O Futuro da Terra como Planeta de Origem

Nos últimos dois decênios, a astronomia exoplanetária passou de uma disciplina de descoberta pontual para um campo maduro, capaz de caracterizar atmosferas, geologia e até sinais de bioatividade em mundos a dezenas de anos-luz de distância. Essa revolução transforma a ideia de “próxima casa” de ficção científica em um problema técnico-estratégico que demandará decisões de engenharia, políticas públicas e ciência fundamental. Este capítulo apresenta, de forma profunda e prática, os pilares que sustentam a transição da Terra – planeta de origem – para uma civilização interplanetária que habitue exoplanetas habitáveis.

1. Seleção de alvos habitáveis: critérios e métricas quantitativas

Para planejar missões de colonização, é imprescindível filtrar o vasto catálogo de mais de 5.000 exoplanetas confirmados ([NASA Exoplanet Archive](#)) usando métricas que traduzam habitabilidade em parâmetros mensuráveis. As três métricas mais utilizadas são:

- **Índice de Habitabilidade (Habitable Index, HI):** combina zona habitável (HZ), tamanho planetário ($0.5-1.5 R_{\oplus}$) e massa ($0.5-5 M_{\oplus}$). Calculado como $HI = (HZ_score * Size_score * Mass_score) / 3$.
- **Temperatura de Equilíbrio (T_{eq}):** $T_{eq} = T_{star} * \sqrt{R_{star} / (2 * a)} * (1 - A)^{(1/4)}$, onde A é a albedo estimada. Valores entre 250 K e 320 K são considerados ótimos.
- **Fluxo de Radiação Cósmica (CRF):** medida da exposição a raios cósmicos galácticos. Planetas em sistemas de baixa atividade estelar recebem < 1 Sv/ano, reduzindo risco de mutações.

Aplicando essas métricas a *Proxima Centauri b*, *TRAPPIST-1e* e *LHS 1140b*, obtém-se:

- ***Proxima Centauri b*:** $HI \approx 0.68$, $T_{eq} \approx 234$ K, $CRF \approx 0.9$ Sv/ano.
- ***TRAPPIST-1e*:** $HI \approx 0.81$, $T_{eq} \approx 251$ K, $CRF \approx 0.7$ Sv/ano.
- ***LHS 1140b*:** $HI \approx 0.85$, $T_{eq} \approx 230$ K, $CRF \approx 0.5$ Sv/ano.

Esses valores indicam que LHS 1140b apresenta o melhor equilíbrio entre temperatura e radiação, tornando-o um candidato prioritário para missões de reconhecimento.

2. Propulsão interestelar: tecnologias de ponta e cálculo de trajetórias

As distâncias interestelares exigem impulsos de energia que superam em ordem de magnitude os propulsores químicos tradicionais. As duas tecnologias mais avançadas e com demonstrações experimentais são:

- **Propulsão por vela laser (Breakthrough Starshot):** aceleração até 0,2c usando feixes de laser de 100 GW direcionados a velas de 4m de diâmetro. Tempo de viagem para Proxima Centauri ≈ 20 anos.
- **Propulsão de fusão inercial (ICF):** implosão de cápsulas de deutério-trítio com lasers de petawatt, gerando empuxo de 10 MN. Projetado para $\Delta v \approx 0,05c$ em múltiplos estágios.

Para estimar a energia necessária, utilizamos a equação relativística da energia cinética:

$$E = (\gamma - 1) * m * c^2 \quad \gamma = 1 / \sqrt{1 - (v^2 / c^2)}$$

Onde m é a massa da nave (ex.: 10kg para uma sonda Starshot) e v a velocidade alvo. Substituindo $v = 0.2c$:

$$\gamma = 1 / \sqrt{1 - 0.04} \approx 1.0206 \quad E \approx (1.0206 - 1) * 10 \text{ kg} * (3 \times 10^8 \text{ m/s})^2 \approx 1.85 \times 10^{16} \text{ J}$$

Esse valor corresponde a aproximadamente 5kt de TNT – energia factível com instalações de laser de classe megawatt-ano.

3. Arquitetura de missão de reconhecimento

Uma missão de reconhecimento (Recon) tem como objetivo coletar dados atmosféricos, topográficos e de radiação antes da decisão de colonização. A arquitetura típica inclui:

- **Vela de aceleração** (laser ou fusão) que entrega a sonda ao destino.
- **Modulo de propulsão de correção (MPC)** com propulsores de íons de xenônio para ajustes de órbita ($\Delta v \approx 10 \text{ m/s}$).
- **Payload científico:**
 - **Spectrógrafo de alta resolução** ($R \approx 100\,000$) para análise de biosignaturas (O_2 , CH_4).
 - **Lidar de varredura topográfica** (precisão $< 1 \text{ m}$).

- *Detector de partículas de alta energia (para CRF).*
- **Comunicação laser** ($\lambda = 1550\text{ nm}$) capaz de transmitir até 1 Gbps a distâncias de 30 ly com antenas de 10 m no planeta-alvo.

O cronograma típico:

- **Ano 0:** Lançamento da vela e início da aceleração.
- **Ano 20-25:** Chegada ao sistema de destino; fase de desacoplamento e inserção orbital.
- **Ano 25-30:** Coleta de dados científicos e transmissão para a Terra.

4. Estratégias de colonização: habitats autossustentáveis

Com os dados de Recon em mãos, a próxima fase é o design de habitats que minimizem dependência da Terra. Três abordagens complementares são recomendadas:

- **Habitat inflável de regolith:** Estruturas de fibra de carbono infláveis cobertas por solo local (regolith) para blindagem contra radiação. Utiliza 3 t/m² de regolith para reduzir CRF em 90 %.
- **Bioreatores de fotossíntese artificial:** Sistemas fechados que convertem CO₂ atmosférico em O₂ e biomassa usando algas geneticamente modificadas. Taxa de produção estimada: 0.5 kg O₂ / m³ / dia.
- **Terraformação a longo prazo:** Injeção de gases de efeito estufa (SF₆, PFCs) para elevar a temperatura média em +5 K ao longo de 500 anos, facilitando a colonização permanente.

O cálculo de blindagem necessária pode ser realizado com a fórmula de atenuação exponencial:

$$I = I_0 * e^{(-\mu * x)} \quad \mu = \text{coeficiente de atenuação (cm}^{-1}\text{)} \quad x = \text{espessura do material (cm)}$$

Para regolith com $\mu \approx 0.03 \text{ cm}^{-1}$ e objetivo de reduzir a intensidade de radiação de 1 Sv/ano para <0.1 Sv/ano, requer:

$$0.1 = 1 * e^{(-0.03 * x)} \rightarrow x \approx 77 \text{ cm}$$

Portanto, uma camada de ~0,8m de solo local é suficiente.

5. O papel da Terra como “planeta de origem” no futuro interplanetário

Mesmo com a expansão para exoplanetas, a Terra continuará sendo o núcleo de referência tecnológica e cultural. As funções estratégicas da Terra incluem:

- **Centro de produção de recursos críticos** (lantânidos, hélio-3) que ainda não podem ser extraídos em larga escala em exoplanetas.
- **Base de dados de bioinformática:** Armazenamento de genomas humanos e de microrganismos sintéticos, essenciais para a adaptação de colonos.
- **Rede de comunicação interplanetária** baseada em constelações de satélites de laser que mantêm latência < 10 min entre a Terra e sistemas até 30 ly.
- **Centro de governança:** Estrutura legal internacional (ex.: Tratado de Colonização Exoplanetária) que regula direitos de uso de recursos e preservação de biosignaturas.

Para garantir a resiliência da Terra, recomenda-se a implementação de **ciclos de retroalimentação climática** que utilizem energia solar espacial (SSP) para compensar perdas de energia térmica, reduzindo a dependência de combustíveis fósseis e mantendo a estabilidade climática necessária ao suporte das missões interplanetárias.

6. Roteiro prático de 30 anos para a transição Terra → Exoplaneta

1. **Ano 0-5:** Finalização de demonstradores de vela laser (10 MW) e testes de bioreatores em órbita terrestre baixa (LEO).
2. **Ano 6-10:** Lançamento da primeira missão Recon a LHS 1140b; desenvolvimento de rede de comunicação laser interplanetária.
3. **Ano 11-15:** Análise de dados Recon; seleção de sítio de pouso; design de habitat inflável com blindagem local.
4. **Ano 16-20:** Construção e lançamento de módulo de colonização (massa ≈ 50 t) usando propulsão de fusão inercial em múltiplos estágios.
5. **Ano 21-25:** Estabelecimento de base piloto; início de produção de O₂ e alimentos em bioreatores.
6. **Ano 26-30:** Expansão de infraestrutura, início de projetos de terraformação de baixa escala e integração total com a rede de suporte terrestre.

Seguindo esse roteiro, a humanidade não apenas assegura um “seguro-de-vida” para a espécie, mas também abre caminhos para a exploração científica de sistemas estelares que, até então, eram meramente objetos de observação.

Conclusão

A exploração de exoplanetas como “próxima casa” exige a convergência de astronomia de alta precisão, propulsão de fronteira, engenharia de habitats autossustentáveis e governança global. Cada etapa – da seleção de alvos ao estabelecimento de colônias – deve ser baseada em métricas quantitativas robustas e em protótipos testados em ambientes reais (LEO, Lua, Marte). Ao posicionar a Terra como planeta de origem resiliente e como hub tecnológico, criamos a infraestrutura necessária para que a humanidade possa, de forma segura e sustentável, migrar para novos mundos habitáveis, assegurando a continuidade da vida e da civilização no cosmos.